

طراحی کنترل کننده پیش‌بین مدل پایدارساز برای سیستم‌های هایبرید مرکب منطقی دینامیکی: رویکرد تابع لیاپانف مبتنی بر نرم بی‌نهایت

علیرضا علما^۱، کارشناس ارشد، مختار شاصادقی^۲، دانشیار، امین رضانی^۳، استادیار

۱- دانشکده مهندسی برق و الکترونیک - دانشگاه صنعتی شیراز - شیراز - ایران - a.olama@sutech.ac.ir
 ۲- دانشکده مهندسی برق و الکترونیک - دانشگاه صنعتی شیراز - شیراز - ایران - shasadeghi@sutech.ac.ir
 ۳- دانشکده مهندسی برق و کامپیوتر - دانشگاه تربیت مدرس - تهران - ایران - ramezani@modares.ac.ir

چکیده: کنترل پیش‌بین سیستم‌های هایبرید با دو چالش اساسی تضمین پایداری حلقه-بسته و همچنین کاهش پیچیدگی محاسباتی روبه‌رو می‌باشد. در این مقاله، پایداری نمایی حلقه-بسته سیستم‌های هایبرید توصیف‌شده توسط مدل مرکب منطقی دینامیکی توسط کنترل پیش‌بین مدل تحلیل می‌شود. برای این منظور، استفاده از شرط نزولی بودن یک تابع لیاپانوف مبتنی بر نرم بی‌نهایت متغیرهای حالت سیستم، به جای تحمیل قید مساوی نهایی در مساله کنترل پیش‌بین مدل سیستم‌های مرکب منطقی دینامیکی پیشنهاد می‌شود. شرایط تضمین پایداری نمایی حلقه-بسته با استفاده از روش پیشنهادی دارای عملکرد بهتری هم از نظر پیاده‌سازی کنترل کننده و هم از نظر پیچیدگی محاسباتی است. علاوه بر این، با استفاده از این روش، شرایط پایداری نمایی حلقه-بسته نقطه تعادل به مقدار افق پیش‌بینی سیستم وابسته نمی‌باشد و همین امر می‌تواند یکی از مهمترین مزایای این روش در نظر گرفته شود. با استفاده از شرط نزولی بودن تابع لیاپانوف در فرمول‌بندی کنترل پیش‌بین مدل برای سیستم‌های مرکب منطقی دینامیکی، نسخه زیربهبوده سیگنال کنترل با حجم محاسباتی بسیار کمتر به دست می‌آید. به منظور بررسی عملکرد روش پیشنهادی، مساله پایدارسازی در سیستم تعلیق خودرو مورد مطالعه و شبیه‌سازی قرار می‌گیرد.

واژه‌های کلیدی: کنترل کننده پیش‌بین مدل، سیستم‌های هایبرید مرکب منطقی دینامیکی، پایداری، برنامه ریزی صحیح-مرکب

Stable MPC Design for Hybrid Mixed Logical Dynamical Systems: l_∞ -based Lyapunov Approach

A. Olama, MSc¹, M. Shasadeghi, Associate Professor², A. Ramezani, Assistant Professor³

1- Faculty of Electrical and Electronic Engineering, Shiraz University of Technology, Shiraz, Iran, Email: a.olama@sutech.ac.ir
 2- Faculty of Electrical and Electronic Engineering, Shiraz University of Technology, Shiraz, Iran, Email: shasadeghi@sutech.ac.ir
 3- Faculty of Electrical and Computer Engineering, Tarbiat Modares University, Tehran, Iran, Email: ramezani@modares.ac.ir

Abstract: There are two main challenges in control of hybrid systems which are to guarantee the closed-loop stability and reduce computational complexity. In this paper, we propose the exponential stability conditions of hybrid systems which are described in the Mixed Logical Dynamical (MLD) form in closed-loop with Model Predictive Control (MPC). To do this, it is proposed to use the decreasing condition of infinity norm based Lyapunov function instead of imposing the terminal equality constraint in the MPC formulation of MLD system. The exponential stability conditions have a better performance from both implementation and computational points of view. In addition, the exponential stability conditions of the equilibrium point of the MLD system do not depend on the prediction horizon of MPC problem which is the main advantage of the proposed method. On the other hand, by using the decreasing condition of the Lyapunov function in the MPC setup, the suboptimal version of the control signal with reduced complexity is obtained. In order to show the capabilities of the proposed method, the stabilization problem of the car suspension system is studied.

Keywords: Model predictive control, Mixed logical dynamical system, Mixed integer programming

تاریخ ارسال مقاله:

تاریخ اصلاح مقاله:

تاریخ پذیرش مقاله:

نام نویسنده مسئول: مختار شاصادقی

نشانی نویسنده مسئول: ایران-شیراز-بولوار مدرس-دانشگاه صنعتی شیراز-دانشکده مهندسی برق و الکترونیک.

۱- مقدمه

سیستم‌های دینامیکی هایبرید [۱]، سیستم‌های دینامیکی هستند که از ترکیب سیستم‌های دینامیکی پیوسته-حالت و سیستم‌های دینامیکی رویداد گسسته^۱ [۲] تشکیل شده‌اند. این کلاس خاص از سیستم‌ها، در دهه‌های اخیر، به دلیل کاربردهای فراوان در صنایع کنترل، بسیار مورد توجه واقع شده‌اند. برای مثال، در یک مدار الکتریکی مبتنی بر عملیات کلیدزنی، ولتاژ و جریان با توجه به قوانین الکتریکی حاکم بر مدار، به صورت پیوسته نسبت به زمان و همچنین به صورت ناپیوسته نسبت به موقعیت کلیدهای موجود در مدار تغییر می‌کنند. به طور کلی، بسیاری از کاربردهای دنیای حقیقی و همچنین بسیاری از سیستم‌ها، ذاتاً دارای ویژگی‌های یک سیستم هایبرید می‌باشند.

با توجه به این موضوع که سیستم‌های هایبرید از دو زیرسیستم زمان-محور و رویداد-محور تشکیل شده‌اند، مدل فضای حالت کلاسیک، دارای توانایی لازم برای مدل سازی این سیستم‌ها نمی‌باشد. بنابراین، توسعه روش‌های مدل سازی جدید به منظور تحلیل و طراحی این سیستم‌ها امری ضروری به نظر می‌رسد. به همین دلیل، تاکنون رویکردهای مختلفی برای مدل سازی سیستم‌های هایبرید در مقالات ارائه شده‌اند که می‌توان از اتوماتای هایبرید [۳-۵]، سیستم‌های تکه‌ای مستوی^۲ [۶]، سیستم‌های مرکب منطقی دینامیکی^۳ [۷]، سیستم‌های MMPS^۴ [۸]، سیستم‌های مکمل [۹] و سیستم‌های مکمل تعمیم یافته به عنوان مهمترین کلاس‌های مدل سازی هایبرید نام برد. هرچند که عناصر تشکیل دهنده این مدل‌ها یکسان می‌باشند، با این وجود، این روش‌های مدل سازی، از دیدگاه پیچیدگی تحلیل و طراحی، دارای نقاط قوت و ضعف منحصر به فرد خود می‌باشند. در مرجع [۱۰] به خوبی نشان داده شده است که تحت شرایطی این کلاس‌های مدل سازی معادل خواهند بود. مهمترین مزیت معادل سازی این روش‌ها استفاده از مزایای مدل‌های مختلف می‌باشد.

در میان تمامی این روش‌های مدل سازی، سیستم‌های MLD دارای ویژگی‌های بسیار مناسبی مانند فرمول بندی مناسب جهت طراحی کنترل کننده بهینه، تشخیص و شناسایی خطا، تحلیل کنترل پذیری و رویت پذیری می‌باشد. علاوه بر موارد ذکر شده، با استفاده از مدل MLD می‌توان دسته بسیار وسیعی از سیستم‌های هایبرید را نیز مدل سازی نمود. به طور خلاصه در این روش، سیستم هایبرید توسط ترکیب متغیرهای حقیقی و باینری تشکیل می‌شود. ارتباط این متغیرها نیز به صورت قیدهایی به سیستم اضافه می‌شود. علاوه بر سیستم‌های هایبرید، با استفاده از مدل MLD می‌توان دسته وسیعی از سیستم‌ها، مانند سیستم‌های خطی مقید، ماشین‌های حالت محدود، و سیستم‌های دارای متغیرهای باینری را مدل سازی نمود. از آنجا که سیستم MLD یک سیستم غیرخطی مقید و دارای دینامیک ناپیوسته می‌باشد، طراحی کنترل کننده برای چنین سیستمی امر بسیار چالش برانگیزی می‌باشد. در میان انواع روش‌های طراحی

کنترل کننده، کنترل کننده پیش بین مدل^۵ به دلیل دارا بودن توانایی‌های منحصر به فرد در حل مسائل کنترلی پیچیده، به طور گسترده در صنایع مختلف مورد استفاده قرار می‌گیرد. به عنوان نمونه، در مرجع [۱۱] این استراتژی کنترلی به منظور کنترل سیستم‌های عملیات از راه دور مورد استفاده قرار گرفته است. در مرجع [۱۲]، بر اساس برنامه‌ریزی چند پارامتری، کنترل کننده MPC به صورت خارج از خط و با حجم محاسباتی کم برای حل مساله ردیابی مورد استفاده قرار گرفته است. به طور خلاصه، MPC یک استراتژی کنترلی است که در آن، سیگنال کنترل در زمان حال، توسط حل برخط (در هر زمان نمونه برداری) یک مسئله کنترل بهینه حلقه-باز افق محدود به دست می‌آید. حل این مسئله که در آن از متغیرهای حالت سیستم در زمان حال به عنوان شرط اولیه مسئله استفاده می‌شود، به تولید یک دنباله کنترلی منجر می‌شود که بر اساس استراتژی افق پس رفتی^۶، فقط اولین عنصر این دنباله (سیگنال کنترل در زمان حال) به سیستم اعمال می‌شود. به عبارت دقیق تر، در MPC، با استفاده از مدل دینامیکی سیستم تحت کنترل، رفتار آینده بردار خروجی سیستم پیش بینی می‌شود و بر اساس این پیش بینی، در هر لحظه از زمان، کنترل کننده با استفاده از حل یک مسئله بهینه سازی ریاضی که منجر به تولید سیگنال‌های کنترل در لحظات آتی می‌شود، بهترین فرمان کنترلی را جهت مینیمم کردن یک معیار کارایی در حضور قیود فیزیکی تحمیل شده به سیستم، اتخاذ می‌کند و این روند در هر لحظه از زمان تکرار می‌شود [۱۳، ۱۴].

در مرجع [۷]، این استراتژی کنترلی برای سیستم‌های MLD تعمیم داده شده است. مهمترین وجه تمایز بین کنترل پیش بین هایبرید^۷ و غیرهایبرید در این است که در H-MPC، دنباله کنترلی از حل یک مسئله برنامه‌ریزی صحیح-مرکب^۸ [۱۵، ۱۶] در هر لحظه از زمان به دست می‌آید که در حالت کلی، یک مسئله NP-Hard [۱۷] می‌باشد. در ادبیات پیچیدگی محاسباتی، NP-Hard به مسائلی اطلاق می‌شود که دست کم به اندازه دشوارترین مساله در NP دشوار می‌باشد. به همین دلیل، از نقطه نظر پیچیدگی محاسباتی، محاسبه دنباله کنترلی در H-MPC امر بسیار دشوارتر از سایر کلاس‌های MPC می‌باشد. تاکنون مقالات بسیار متنوعی از کاربردهای سیستم‌های MLD به همراه H-MPC معرفی شده است که می‌توان به کنترل سیستم‌های مرتبط با خودرو [۱۸]، کنترل تحت شبکه [۱۹] و کنترل شبکه‌های قدرت [۲۰-۲۲] اشاره نمود.

به طور کلی، H-MPC با دو چالش اساسی روبه‌رو می‌باشد که عبارتند از (۱) تضمین پایداری حلقه-بسته و (۲) کاهش پیچیدگی محاسباتی. در MPC غیرهایبرید، روش‌های مختلفی برای تضمین پایداری حلقه-بسته ارائه شده است. در یک دسته بسیار کاربردی از این روش‌ها، که به کنترل پیش بین با دو مود عملکرد شناخته می‌شود، یک کنترل کننده محلی وجود دارد که یک مجموعه پایای مثبت [۲۳] حول نقطه تعادل سیستم ایجاد نموده و MPC سعی می‌کند بردار

می توان نوع زیربهبینه این کنترل کننده با پیچیدگی محاسباتی بسیار کمتر را نیز ارائه نمود.

۲- مقدمات

۲-۱- سیستم های مرکب منطقی-دینامیکی

ایده اصلی مدل سازی به روش MLD براساس تبدیل گزاره های منطقی به نامساوی های صحیح-مرکب می باشد [۲۷]. این نامساوی ها عموماً متشکل از متغیرهای صحیح و حقیقی می باشند. با استفاده از این روش، سیستم هایبرید را می توان به صورت یک سیستم شبه-خطی به همراه قیود صحیح-مرکب بیان نمود. برای مثال، عبارت منطقی "یا" را می توان توسط نامساوی صحیح مرکب معادل به صورت زیر بیان نمود:

$$X_1 \vee X_2 \equiv \delta_1 + \delta_2 \geq 1 \quad (1)$$

که در آن $\delta_i \in \{0,1\}$ متغیر باینری به اشتراک گذاشته شده با متغیر منطقی X_i می باشد که در صورت صحیح بودن عبارت منطقی مقدار یک و در غیر این صورت مقدار صفر به خود خواهد گرفت. رابطه (۱) این مفهوم را بیان می کند که عبارت منطقی سمت چپ صحیح است اگر و فقط اگر نامساوی عدد صحیح سمت راست برقرار باشد. با استفاده از این تکنیک و همچنین معرفی متغیرهای کمکی پیوسته به منظور تبدیل حاصل ضرب عبارات باینری و حقیقی به نامساوی های صحیح-مرکب، مدل MLD به صورت زیر به دست می آید:

$$x(t+1) = Ax(t) + B_1u(t) + B_2\delta(t) + B_3z(t) \quad (2)$$

$$y(t) = Cx(t) + D_1u(t) + D_2\delta(t) + D_3z(t) \quad (3)$$

$$E_2\delta(t) + E_3z(t) \leq E_1u(t) + E_4x(t) + E_5 \quad (4)$$

در این روابط t زمان گسسته،

$$x = \begin{pmatrix} x_c \\ x_l \end{pmatrix}, \quad x_c \in \mathcal{R}^{n_c}, \quad x_l \in \{0,1\}^{n_l}, \quad n \triangleq n_c + n_l$$

بردار حالت سیستم شامل متغیرهای باینری و حقیقی،

$$y = \begin{pmatrix} y_c \\ y_l \end{pmatrix}, \quad y_c \in \mathcal{R}^{p_c}, \quad y_l \in \{0,1\}^{p_l}, \quad p \triangleq p_c + p_l$$

بردار خروجی سیستم و

$$u = \begin{pmatrix} u_c \\ u_l \end{pmatrix}, \quad u_c \in \mathcal{R}^{m_c}, \quad u_l \in \{0,1\}^{m_l}, \quad m \triangleq m_c + m_l$$

بردار ورودی سیستم شامل متغیرهای ورودی پیوسته و باینری می باشد. بردار $z \in \mathcal{R}^{r_c}$ به ترتیب، بردارهای متغیرهای کمکی باینری هستند که به عنوان ورودی های کنترلی سیستم MLD مورد استفاده قرار می گیرند. بنابراین روابط (۲) و (۳) به ترتیب، معادلات حالت و خروجی سیستم و رابطه (۴) قیدهای به دست آمده در طی فرایند مدل سازی را بیان می کند. ذکر این نکته لازم است که عموماً برای یک سیستم هایبرید، مدل های MLD متفاوتی می توان ارائه نمود. دلیل این امر این است که معمولاً نظیر نمودن متغیرهای باینری و نیز انتخاب متغیرهای کمکی دارای انتخاب های متفاوتی است

حالت را به درون این مجموعه هدایت کند [۱۳]. در درون این مجموعه، کنترل کننده محلی وظیفه پایدارسازی سیستم را به عهده خواهد داشت. در مراجع [۲۶-۲۴]، این روش به منظور پایدارسازی سیستم های هایبرید مبتنی بر مدل PWA تعمیم داده شده است. اولین روش تضمین پایداری حلقه-بسته برای سیستم های MLD در مرجع [۷] معرفی شده است. در این روش که نوع سخت گیرانه تری از کنترل پیش بین با دو مد عملکرد است، مجموعه نهایی حول نقطه تعادل سیستم دقیقاً نقطه تعادل در نظر گرفته می شود و همچنین کنترل کننده محلی نیز برابر صفر می باشد. دلیل این امر این است که به دلیل وجود متغیرهای باینری در معادلات دینامیکی سیستم، محاسبه کنترل کننده محلی و همچنین مجموعه پایا حول مبدا کار بسیار مشکلی می باشد. در این رویکرد، که به آن کنترل پیش بین با قید مساوی نهایی^۹ گفته می شود، بردار حالت سیستم می بایستی در انتهای افق پیش بینی به نقطه تعادل سیستم برسد. مهم ترین نقطه ضعف این روش در این است که این قید در بسیاری از موارد ارضاشدنی نیست. به عبارت دیگر، نقطه تعادل سیستم در چند گام زمانی قابل دسترسی نیست و این قید صرفاً به ازای افق های پیش بینی بزرگ ارضاشدنی خواهد بود. علاوه بر این، به منظور برقراری این قید بدون افزایش افق پیش بینی، شرایط اولیه سیستم می بایستی به طور قابل توجهی به نقطه تعادل سیستم نزدیک باشند از این رو، با توجه به NP-Hard بودن مسئله بهینه سازی، افزایش افق پیش بینی موجب افزایش ابعاد مساله و به تبع آن افزایش پیچیدگی محاسباتی مساله می شود. از طرف دیگر، این قید در صورت ارضاشدن نیز تنها جاذب بودن نقطه تعادل را تضمین می کند و نمی توان با استفاده از آن پایداری لیاپانوف را اثبات نمود. از این جهت ارائه روش های تضمین کننده پایداری برای سیستم های MLD بدون استفاده از قید مساوی نهایی جهت کاهش پیچیدگی محاسباتی امر ضروری به نظر می رسد.

در این مقاله، به منظور تضمین پایداری نمایی حلقه-بسته و همچنین کاهش پیچیدگی محاسباتی مساله پایداری سیستم های MLD، از قید نزولی بودن تابع لیاپانوف به جای قید مساوی نهایی در مساله H-MPC استفاده شده است. برای این منظور، یک تابع لیاپانوف مبتنی بر نرم بی نهایت برای سیستم تعریف شده و H-MPC سعی می کند در هر گام زمانی، تابع لیاپانوف را کوچکتر نماید. در ادامه نشان داده خواهد شد که این قید به افق پیش بین مسئله وابسته نبوده و می توان با استفاده از آن، پایداری نمایی سیستم حلقه-بسته را به ازای افق پیش بینی بسیار کوچک (حتی برابر با یک) تضمین کرد. با توجه به رابطه مستقیم پیچیدگی محاسباتی با افق پیش بین مسئله H-MPC می توان با استفاده از روش پیشنهادی، پیچیدگی محاسباتی مسئله را نیز به طور چشم گیری کاهش داد. علاوه بر این موارد، با استفاده از ساختار قید نزول تابع لیاپانوف، همان گونه که نشان داده خواهد شد،

$$J(U_t, x(t)) \triangleq \sum_{k=0}^{N-1} \|u_{t+k|t} - u_e\|_{Q_1}^2 + \|\delta_{t+k|t} - \delta_e\|_{Q_2}^2 + \|\bar{z}_{t+k|t} - \bar{z}_e\|_{Q_3}^2 + \|x_{t+k|t} - x_e\|_{Q_4}^2 + \|y_{t+k|t} - y_e\|_{Q_5}^2 \quad (14)$$

که در آن، N افق پیش‌بینی، بردار متغیرهای بهینه‌سازی شامل ورودی کنترل، متغیر کمکی باینری و پیوسته، δ_e و z_e ، u_e ، x_e ، y_e مقادیر حالت ماندگار برای متغیر خروجی، حالت، ورودی و متغیرهای کمکی باینری و پیوسته و ماتریس‌های مثبت معین Q_i ، $i = 1, \dots, 5$ ماتریس‌های وزنی با ابعاد مناسب می‌باشند. در این فرمول‌بندی، قید مساوی نهایی (۱۲) به منظور تضمین پایداری حلقه بسته مورد استفاده قرار گرفته است. پس از حل مساله بهینه‌سازی فوق در هر لحظه، طبق استراتژی RHC، اولین عنصر از بردار بهینه‌سازی به سیستم MLD اعمال می‌شود و برای لحظات بعد، افق پیش‌بینی در طول محور زمان شیف‌ت داده شده و روند بهینه‌سازی مجدد تکرار می‌گردد.

۲-۴- بیان مساله

مساله H-MPC تعریف شده توسط روابط (۵) تا (۱۰) را با هدف پایداری در نقطه تعادل بدون استفاده از قید مساوی نهایی را به صورت زیر در نظر بگیرید:

$$\min_{U_t} J(U_t, x(t)) \quad (15)$$

$$x_{t+k+1|t} = Ax_{t+k|t} + B_1 u_{t+k|t} + B_2 \delta_{t+k|t} + B_3 z_{t+k|t} \quad (16)$$

$$y_{t+k|t} = Cx_{t+k|t} + D_1 u_{t+k|t} + D_2 \delta_{t+k|t} + D_3 z_{t+k|t} \quad (17)$$

$$E_2 \delta_{t+k|t} + E_3 z_{t+k|t} \leq E_1 u_{t+k|t} + E_4 x_{t+k|t} + E_5 \quad (18)$$

$$U_t = \{u_{t|t}, \dots, u_{t+N-1|t}, \delta_{t|t}, \dots, \delta_{t+N-1|t}, z_{t|t}, \dots, z_{t+N-1|t}\} \quad (19)$$

هدف اصلی کنترل در این مساله استخراج دنباله کنترلی $u(t)$ و همچنین متغیرهای کمکی قابل قبول $\delta(t)$ و $z(t)$ به نحوی است که علاوه بر رعایت محدودیت‌های موجود در مسئله، پایداری نمایی سیستم MLD معرفی شده توسط روابط (۲) تا (۴) را در نقطه تعادل تضمین و همچنین تابع هزینه تعریف شده در رابطه (۱۴) را کمینه نماید. در بخش بعد روش پیشنهادی به منظور حل مساله فوق به تفصیل بیان خواهد شد.

۳- حل مساله پایداری سیستم MLD با استفاده از H-MPC

در این بخش، با معرفی یک تابع لیاپانوف مبتنی بر نرم بی‌نهایت نشان داده خواهد شد که با اعمال قید نزولی بودن این تابع می‌توان بدون وابستگی به افق پیش‌بینی و محاسبات مربوط به هزینه نهایی و مجموعه نهایی، پایداری نمایی حلقه بسته سیستم MLD را در نقطه تعادل تضمین نمود. بدیهی است که با اعمال تغییرات بسیار کمی در فرآیند آتی، می‌توان مساله ردیابی را نیز مورد بررسی قرار داد.

و هر یک از این انتخاب‌ها منجر به مدل MLD جداگانه‌ای می‌شود. به منظور جزئیات بیشتر به مرجع [۷] رجوع شود.

۲-۲- تعاریف اساسی سیستم‌های MLD

تعاریف اساسی پایداری سیستم‌های MLD به صورت زیر می‌باشند [۷]:
تعریف ۱: بردار $x_e \in \mathcal{R}^{mc} \times \{0,1\}^{ml}$ یک حالت تعادل^۱ برای سیستم MLD توصیف شده توسط روابط (۲) تا (۴) و ورودی $u_e \in \mathcal{R}^{mc} \times \{0,1\}^{ml}$ نامیده می‌شود، اگر $[x_e^T \ u_e^T] \in \mathcal{F}$ و در این صورت جفت (x_e, u_e) ، جفت تعادل نامیده می‌شود. ناحیه \mathcal{F} ، یک چندوجهی می‌باشد که سیستم MLD در آن تعریف می‌شود.

تعریف ۲: [۷] برای جفت تعادل (x_e, u_e) ، x_e پایدار است اگر برای $t_0 \in \mathcal{Z}$ و به ازای هر $\epsilon, \epsilon \geq 0$ ، $\delta(\epsilon, t_0)$ به نحوی وجود داشته باشد که:

$$\|x_0 - x_e\| \leq \delta \Rightarrow \|x(x_0, u_e) - x_e\| \leq \epsilon, \quad \forall t \geq t_0 \quad (5)$$

تعریف ۳: [۷] برای جفت تعادل (x_e, u_e) ، x_e پایدار مجانبی است اگر x_e پایدار باشد و $r > 0$ به نحوی وجود داشته باشد که به ازای هر $x_0 \in B(x_e, r)$ و $\epsilon, \epsilon > 0$ ، $T(\epsilon, t_0)$ تعریف شده و رابطه زیر برقرار باشد:

$$\|x(t) - x_e\| \leq \epsilon, \quad \forall t \geq T \quad (6)$$

تعریف ۴: [۷] برای جفت تعادل (x_e, u_e) ، x_e پایدار نمایی است اگر x_e پایدار مجانبی باشد و $\alpha > 0$ ، $\delta > 0$ ، $0 \leq \beta \leq 1$ به نحوی وجود داشته باشند که به ازای هر $x_0 \in B(x_e, \delta)$ رابطه زیر برقرار باشد:

$$\|x(t) - x_e\| \leq \alpha \beta^{t-t_0} \|x(t_0) - x_e\| \quad (7)$$

۲-۳- کنترل پیش‌بین مدل هایبرید

مساله کنترل پیش‌بین مدل برای سیستم‌های MLD در حالت کلی به صورت زیر تعریف می‌شود [۷]:

$$\min_{U_t} J(U_t, x(t)) \quad (8)$$

$$x_{t+k+1|t} = Ax_{t+k|t} + B_1 u_{t+k|t} + B_2 \delta_{t+k|t} + B_3 z_{t+k|t} \quad (9)$$

$$y_{t+k|t} = Cx_{t+k|t} + D_1 u_{t+k|t} + D_2 \delta_{t+k|t} + D_3 z_{t+k|t} \quad (10)$$

$$E_2 \delta_{t+k|t} + E_3 z_{t+k|t} \leq E_1 u_{t+k|t} + E_4 x_{t+k|t} + E_5 \quad (11)$$

$$x_{t+N|t} = x_e \quad (12)$$

$$U_t = \{u_{t|t}, \dots, u_{t+N-1|t}, \delta_{t|t}, \dots, \delta_{t+N-1|t}, z_{t|t}, \dots, z_{t+N-1|t}\} \quad (13)$$

که در رابطه (۸)، $J(U_t, x(t))$ تابع هزینه مسئله H-MPC می‌باشد که به صورت کلی زیر تعریف می‌گردد:

قضیه ۱: با در نظر گرفتن فرض های ۱ و ۲، سیستم MLD تعریف شده توسط روابط (۲) تا (۴) به صورت حلقه-بسته با قانون کنترل به دست آمده توسط مساله بهینه سازی تعریف شده در روابط (۲۱) تا (۲۶) و قاعده RHC، در درون مجموعه Γ ، پایدار نمایی خواهد بود اگر و فقط اگر:

$$\|Y\|_{\infty} \geq \gamma \quad (27)$$

$$\|Y\|_{\infty} \leq 1 + \gamma \quad (28)$$

اثبات: با استفاده از قید موجود در رابطه (۲۵) و فرض ۲ و همچنین با استفاده از خاصیت زیرضربی در نرم بی نهایت می توان نوشت:

$$\|Yx_{t+1|t}\|_{\infty} \leq \|Y\|_{\infty} \|x(t)\|_{\infty} - \gamma \|x(t)\|_{\infty} \quad (29)$$

$$\|Yx_{t+1|t}\|_{\infty} \leq (\|Y\|_{\infty} - \gamma) \|x(t)\|_{\infty} \quad (30)$$

$$\|Yx_{t+1|t}\|_{\infty} \leq \theta \|x(t)\|_{\infty} \quad (31)$$

با فرض $0 \leq \theta \leq 1$ ، $x(0) \in B(0, \lambda)$ خواهیم داشت:

$$\|Yx(t)\|_{\infty} \leq \theta \|x(t-1)\|_{\infty} \leq \theta^2 \|x(t-2)\|_{\infty} \leq \dots \leq \theta^t \|x(0)\|_{\infty} \quad (32)$$

رابطه (۳۲) شرط برقراری پایداری نمایی را طبق تعریف ۴ بیان می کند. به منظور برقراری قید $0 \leq \theta \leq 1$ ، ماتریس Y باید دارای شرایط زیر نیز باشد:

$$\theta \geq 0 \rightarrow \|Y\|_{\infty} \geq \gamma \quad (33)$$

$$\theta \leq 1 \rightarrow \|Y\|_{\infty} \leq 1 + \gamma \quad (34)$$

بنابراین با توجه به اینکه قید پایدارسازی (۲۵) در هر گام از مساله کنترل پیش بین، برای بردار حالت سیستم در دو گام متوالی t و $t+1$ ارضاشدنی است، مبدا مختصات سیستم MLD با نرخ کاهش θ پایدار نمایی بوده و دامنه جذب آن مجموعه Γ می باشد. ■
به منظور محاسبه ماتریس Y می توان از روش های بهینه سازی محدب [۳۲] استفاده نمود.

تبصره ۳: به عنوان یک نکته مهم می توان گفت در حالت کلی استفاده از قید نزول تابع لیاپانوف باعث وسیع تر شدن ناحیه جواب مساله بهینه سازی در H-MPC می شود. دلیل این امر آن است که برخلاف قید مساوی نهایی، در این فرمول بندی، H-MPC سعی می کند که در هر گام بردار حالت های سیستم را به نقطه تعادل نزدیک تر کند در صورتی که قید مساوی نهایی، قید بسیار سخت گیرانه تری نسبت به این قید می باشد. علاوه بر این، با توجه به اینکه ناحیه گسترده تری از شرایط اولیه سیستم منجر به برقراری قید نزولی بودن تابع لیاپانوف می گردند، ناحیه جذب سیستم با استفاده از این کنترل کننده نسبت به کنترل کننده مبتنی بر قید مساوی نهایی وسیع تر خواهد بود.

به منظور تضمین پایداری نمایی حلقه-بسته سیستم MLD تابع زیر به عنوان تابع لیاپانوف برای سیستم MLD در نظر گرفته می شود:

$$V(x(t)) = \|Yx(t)\|_{\infty} \quad (20)$$

که در آن، $Y \in \mathcal{R}^{c \times n}$ ، $Rank(Y) = n$ می باشد. این تابع لیاپانوف برای سیستم های LTI در مرجع [۲۸] و همچنین برای سیستم های هایبرید مبتنی بر مدل PWA در مراجع [۲۹، ۳۰] معرفی و استفاده شده است. در ادامه به حل مساله پایدارسازی در H-MPC با استفاده از این تابع لیاپانوف پرداخته خواهد شد.

فرض ۱: $(x_e, u_e) = (0, 0)$ حالت تعادل سیستم MLD می باشد. با در نظر گرفتن فرض ۱ و همچنین اعمال قید نزولی بودن تابع لیاپانوف موجود در رابطه (۲۰)، مساله H-MPC را می توان به صورت زیر بیان نمود:

$$\min_{U_t} J(U_t, x(t)) \quad (21)$$

$$x_{t+k+1|t} = Ax_{t+k|t} + B_1 u_{t+k|t} + B_2 \delta_{t+k|t} + B_3 z_{t+k|t} \quad (22)$$

$$y_{t+k|t} = Cx_{t+k|t} + D_1 u_{t+k|t} + D_2 \delta_{t+k|t} + D_3 z_{t+k|t} \quad (23)$$

$$E_2 \delta_{t+k|t} + E_3 z_{t+k|t} \leq E_1 u_{t+k|t} + E_4 x_{t+k|t} + E_5 \quad (24)$$

$$\|Yx_{t+1|t}\|_{\infty} \leq \|Yx_{t|t}\|_{\infty} - \gamma \|x_{t|t}\|_{\infty} \quad (25)$$

$$U_t = \{u_{t|t}, \dots, u_{t+N-1|t}, \delta_{t|t}, \dots, \delta_{t+N-1|t}, z_{t|t}, \dots, z_{t+N-1|t}\} \quad (26)$$

که در آن $\gamma > 0$ مقدار ثابت می باشد.

تبصره ۱: نامساوی بیان شده در رابطه (۲۵) قید نزولی بودن تابع لیاپانوف (۲۰) را بیان می کند بدین مفهوم که تابع لیاپانوف می بایست در هر گام از گام قبل کوچکتر باشد. با استفاده از این قید، بردار حالت های سیستم در هر گام زمانی به نقطه تعادل نزدیکتر می شود و بر خلاف قید مساوی نهایی نیازی نیست که حالت های سیستم در انتهای افق پیش بینی به نقطه تعادل برسند. با توجه به اینکه در رابطه (۲۵) مقادیر حالت های سیستم MLD فقط در زمان حال مورد استفاده قرار می گیرند این قید به افق پیش بین وابسته نمی باشد.

قبل از بیان قضیه پایدارسازی قید نزول تابع لیاپانوف (۲۵)، فرض زیر در نظر گرفته می شود:

فرض ۲: مجموعه $\Gamma \in \mathcal{F}$ وجود دارد به نحوی که به ازای $x(0) \in \Gamma$ مساله بهینه سازی تعریف شده توسط روابط (۱۸) تا (۲۳)، برای تمامی زمان های آتی دارای جواب باشد.

تبصره ۲: به مجموعه Γ مجموعه پایای انقباضی گفته می شود که روش محاسبه آن برای سیستم های LTI در مرجع [۳۱] معرفی شده است. با توجه به اینکه محاسبه این مجموعه به متغیرهای باینری سیستم MLD وابسته نمی باشد می توان روش موجود در مرجع فوق را برای سیستم های MLD تعمیم داد. بنابراین فرض ۲ فرض محدودکننده ای نمی باشد.

جواب‌های موجود و انتخاب بهترین جواب می‌باشد که این کار در عمل به دلیل افزایش نمایی جواب‌های بالقوه مساله امکان پذیر نیست. تاکنون روش‌های مختلفی برای حل این مسائل ارائه شده‌اند که مهمترین آنها عبارت‌اند از:

- روش‌های مبتنی بر برش صفحه
- روش‌های مبتنی بر تجزیه‌سازی
- روش تقریب بیرونی
- روش‌های شاخه و کران^[۱۴, ۱۵, ۳۳].

در مرجع [۳۴] به بررسی کارایی روش‌های فوق برای حل مساله MIQP پرداخته شده است که با توجه به نتایج موجود در این مرجع، از بین روش‌های ارائه شده، روش BnB دارای بهترین عملکرد می‌باشد. تمامی نرم‌افزارهای تجاری و غیر تجاری حل مسائل MIQP مانند [۳۵] CPLEX، [۳۶] GUROBI نیز بر اساس این روش کار می‌کنند.

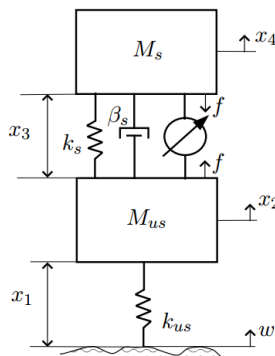
۵- کاربرد در حل مساله پایدارسازی در کنترل هایبرید سیستم تعلیق خودرو

دیاگرام بلوکی سیستم تعلیق دو درجه آزاد مجهز به یک نیروی قابل تنظیم با استفاده از روش مدل سازی موسوم به یک چهارم خودرو^{۱۵} [۳۷] در شکل (۱) نشان داده شده است [۳۸]. با فرض خطی بودن فنرها، دمپر و همچنین با صرف نظر از اصطکاک چرخ‌ها و اغتشاش جاده، می‌توان رفتار دینامیکی سیستم تعلیق را توسط مدل فضای حالت زیر بیان کرد:

$$\dot{x} = Ax + B\bar{f} \quad (42)$$

$$A = \begin{pmatrix} 0 & 1 & 0 & 0 \\ -\omega_{ms}^2 & -2\rho\zeta\omega_s & \rho\omega_s^2 & 2\rho\omega_s \\ 0 & -1 & 0 & 1 \\ 0 & 2\zeta\omega_s & -\omega_s^2 & -2\zeta\omega_s \end{pmatrix}, B = \begin{pmatrix} 0 \\ \rho \\ 0 \\ -1 \end{pmatrix}$$

که در آن، $x = (x_1 \ x_2 \ x_3 \ x_4)^T \in \mathcal{R}^4$ بردار حالت سیستم می‌باشد که در آن x_1 میزان انحراف چرخ‌ها^{۱۶} از نقطه تعادل، x_2 سرعت جرم^{۱۷} M_{us} ، x_3 میزان انحراف تعلیق^{۱۸} از نقطه تعادل، x_4 سرعت جرم^{۱۹} M_s و \bar{f} نیروی قابل تنظیم نرمال شده می‌باشد.



شکل ۱: مدل یک‌چهارم خودرو سیستم تعلیق خودرو [۳۸]

تبصره ۴: مسائل بهینه‌سازی به دست آمده در فوق، این نکته را بیان می‌کنند که بردار حالت‌های سیستم، در هر گام زمانی، می‌بایست به نقطه تعادل سیستم نزدیک شود. بنابراین در صورتی که تابع هدف در این مسائل حذف شود، به دلیل وجود قید پایدارسازی، همچنان بردار حالت‌های سیستم به سمت نقطه تعادل در حرکت خواهد بود. در نتیجه می‌توان در مسائل بهینه‌سازی فوق، با صرف نظر از بهترین جواب، صرفاً به دنبال جواب قابل قبول بود و مساله بهینه‌سازی را به مساله امکان پذیری^{۱۱} به فرم زیر تبدیل نمود:

Find U_t

$$x_{t+k|t} = Ax_{t+k|t} + B_t u_{t+k|t} + B_2 \delta_{t+k|t} + B_3 z_{t+k|t} \quad (35)$$

$$y_{t+k|t} = Cx_{t+k|t} + D_1 u_{t+k|t} + D_2 \delta_{t+k|t} + D_3 z_{t+k|t} \quad (36)$$

$$E_2 \delta_{t+k|t} + E_3 z_{t+k|t} \leq E_1 u_{t+k|t} + E_4 x_{t+k|t} + E_5 \quad (37)$$

$$\|Yx_{t+|t}\|_{\infty} \leq \|Yx_{t|t}\|_{\infty} - \gamma \|x_{t|t}\|_{\infty} \quad (38)$$

$$U_t = \{u_{t|t}, \dots, u_{t+N-1|t}, \delta_{t|t}, \dots, \delta_{t+N-1|t}, z_{t|t}, \dots, z_{t+N-1|t}\} \quad (39)$$

جواب به دست آمده از مسائل فوق گرچه زیر بهینه می‌باشد ولی به طور قابل ملاحظه‌ای دارای پیچیدگی محاسباتی کمتری نسبت به حالت بهینه است.

۴- پیاده‌سازی کنترل کننده H-MPC

مساله بهینه‌سازی تعریف شده توسط روابط (۲۱) تا (۲۶) به طور مستقیم توسط الگوریتم‌های بهینه‌سازی ریاضی قابل پشتیبانی نبوده و می‌بایستی به فرم استاندارد مسائل بهینه‌سازی تبدیل شود. با استفاده از تکنیک معادل سازی قیود شامل نرم [۳۲] و همچنین تعریف بردارها و ماتریس‌های مناسب می‌توان مساله بهینه‌سازی مذکور را به فرم استاندارد زیر بازنویسی کرد:

$$\min_{U_t} J_t = \frac{1}{2} U_t^T H U_t + x(t)^T F U_t \quad (40)$$

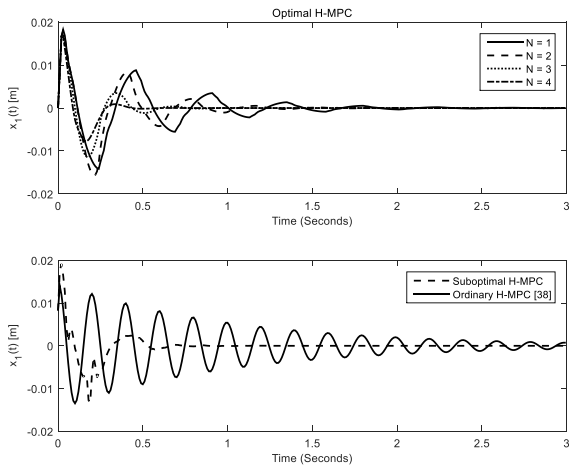
$$\Phi U_t \leq \phi \quad (41)$$

که در آن، ماتریس H و بردار $x(t)^T F$ به ترتیب ماتریس هسین و بردار گرادیان با ابعاد مناسب و همچنین بردار U_t بردار متغیرهای تصمیم‌گیری مساله می‌باشد. رابطه (۴۱) نیز بیانگر قیدهای مساله بهینه‌سازی است که شامل قیود عملکردی و همچنین قیود به دست آمده در خلال فرآیند مدل سازی می‌باشد. با توجه به وجود متغیرهای باینری در مساله بهینه‌سازی تعریف شده در روابط (۴۰) و (۴۱)، این مساله از نوع برنامه‌ریزی صحیح-مرکب درجه دو^{۱۲} [۱۵, ۱۶] می‌باشد.

این مسائل اکثراً در دسته مسائل NP-hard قرار می‌گیرند. در نتیجه در حالت کلی، مساله MIQP در زمان چندجمله‌ای^{۱۳} قابل حل نخواهند بود. ساده‌ترین راه برای حل چنین مسائلی بررسی تمامی

پارامترهای سیستم و همچنین پارامترهای استفاده شده در H-MPC در جدول (۱) قابل مشاهده می باشند. در ادامه نتایج شبیه سازی سیستم تعلیق خودرو با شرط اولیه $x(0) = (0 \ 0 \ 0.1 \ 0)^T$ بررسی خواهد شد.

در اینجا جهت مقایسه بهتر، سه حالت بهینه، زیر بهینه و روش استفاده شده در مرجع [۳۸] مورد بررسی قرار گرفته اند. مسیرهای حالت سیستم برای سه حالت مذکور به ترتیب در شکل های (۲) تا (۵) نمایش داده شده اند.



شکل ۲: مسیر حالت متغیر x_1

در حالت بهینه، عملکرد کنترل کننده به ازای افق های پیش بین مختلف مورد بررسی قرار گرفته است. همانگونه که مشاهده می شود، سیستم حلقه بسته به ازای افق پیش بین $N = 1$ نیز به خوبی به نقطه تعادل همگرا شده است و بنابر آنچه در بخش های گذشته ذکر گردید، پایداری مستقل از افق پیش بینی قابل دسترسی خواهد بود. از طرف دیگر، با افزایش افق پیش بین می توان با حفظ پایداری حلقه بسته، پاسخ سیستم را بهبود داد.

جدول ۱: پارامترهای شبیه سازی سیستم تعلیق خودرو [۳۸]

پارامتر	توضیحات	مقدار عددی
T_s	زمان نمونه برداری	۹ ms
ω_s	فرکانس طبیعی جرم فنربندی شده	۱/۵ Hz
M_s		
ω_{us}	فرکانس طبیعی جرم فنربندی نشده	۹ Hz
M_{us}		
ρ	نسبت جرم فنربندی شده به جرم فنربندی نشده	۱۰
ζ	ضریب میرایی	.
ζ_{max}	ضریب میرایی ماکزیمم	۲/۲۵
N	افق پیش بین	۵
σ	حد بالای نیروی اشباع عملگر	۰/۲

با توجه به اینکه، در کنترل کننده زیر بهینه، از تابع هزینه صرف نظر می شود، افزایش افق پیش بین تاثیری در بهبود عملکرد حلقه-

علاوه بر این، استفاده از نیروی قابل تنظیم \bar{f} قیود زیر را به مسئله تحمیل می کند:

$$\bar{f}(x_4 - x_2) \geq 0 \quad (43)$$

$$|\bar{f}| \leq \sigma \quad (44)$$

$$\bar{f}(x_4 - x_2) \leq (2\zeta_{max}\omega_s)(x_4 - x_2)^2 \quad (45)$$

هدف کنترل در این سیستم، پایداری حالت های سیستم در نقطه تعادل (مبدا) می باشد. از طرفی، همان گونه که از رابطه (۴۳) و (۴۵) مشخص است، این سیستم مقید به قیدهای نامحدب بوده و همین امر، کنترل مقید این سیستم را بسیار مشکل می کند. با استفاده از مدل سازی MLD می توان قیود نامحدب فوق را توسط متغیرهای باینری به قیود قطعه ای محدب تبدیل و با استفاده از این مدل طبق فرمول بندی پایداری ارائه شده در بخش قبل، الگوریتم H-MPC را اجرا کرد. برای این کار، ابتدا قید نامحدب رابطه (۴۳) را در نظر بگیرید. با استفاده از متغیرهای باینری کمکی δ_1 و δ_2 می توان نوشت:

$$[\delta_1 = 1] \leftrightarrow [x_4 - x_2 \geq 0] \quad (46)$$

$$[\delta_2 = 1] \leftrightarrow [\bar{f} \geq 0] \quad (47)$$

$$[\delta_1 = 1] \rightarrow [\delta_2 = 1] \quad (48)$$

$$[\delta_1 = 0] \rightarrow [\delta_2 = 0] \quad (49)$$

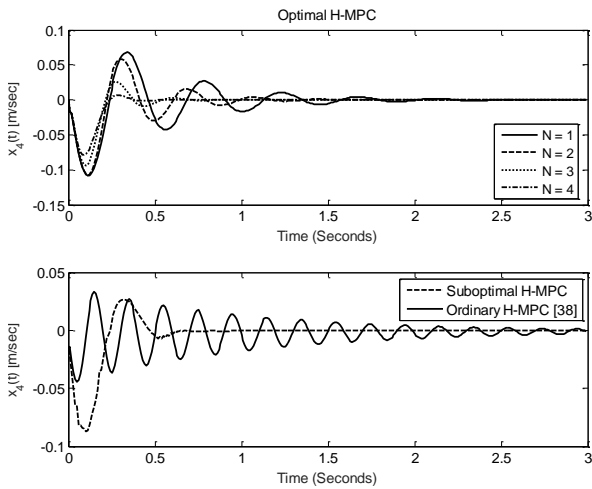
به عبارت دقیق تر، توسط روابط (۴۶) تا (۴۹) می توان قید غیرخطی و نامحدب (۴۳) را به صورت قیودی تکه ای محدب بازنویسی کرد. به عبارت دیگر، به عنوان نمونه، در صورتی که $x_4 - x_2 \geq 0$ باشد، $\delta_1 = 1$ خواهد بود و با توجه به رابطه (۴۸) مقدار \bar{f} می بایستی نامنفی باشد و این همان برقراری قید (۴۳) می باشد. حالت های دیگر را نیز می توان به همین روش بررسی نمود. در حالت کلی، با استفاده از این روش می توان یک ناحیه نامحدب را به چند ناحیه محدب تبدیل نمود. قید نامحدب موجود در نامساوی (۴۵) را نیز می توان توسط متغیر کمکی پیوسته F به صورت زیر بیان کرد:

$$\bar{f}(x_4 - x_2) \leq (2\zeta_{max}\omega_s)(x_4 - x_2)^2 \equiv F \geq 0 \quad (50)$$

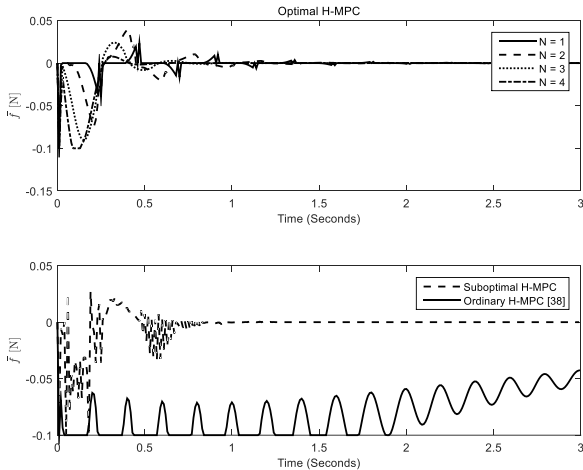
$$F = \begin{cases} \bar{f} - (2\zeta_{max}\omega_s)(x_4 - x_2) & \text{if } \delta_1 = 0 \\ -\bar{f} + (2\zeta_{max}\omega_s)(x_4 - x_2) & \text{if otherwise} \end{cases} \quad (51)$$

که در این اینجا، F متغیر کمکی پیوسته می باشد که در مدل MLD با نام $z(t)$ مشخص شده است. با توجه به اینکه معمولاً فرآیند تبدیل گزاره های منطقی به قیود صحیح-مرکب کار بسیار زمان بری می باشد، در مرجع یک زبان برنامه نویسی به اسم HYSDEL [۳۹] معرفی شده است که به وسیله آن می توان به راحتی مدل MLD سیستم های پدید تحت مطالعه را استخراج کرد. جهت شبیه سازی این مساله، نرم افزار MATLAB همراه حل کننده IBM CPLEX v12.6، به منظور حل مسئله MIQP، مورد استفاده واقع شده است. مقادیر عددی

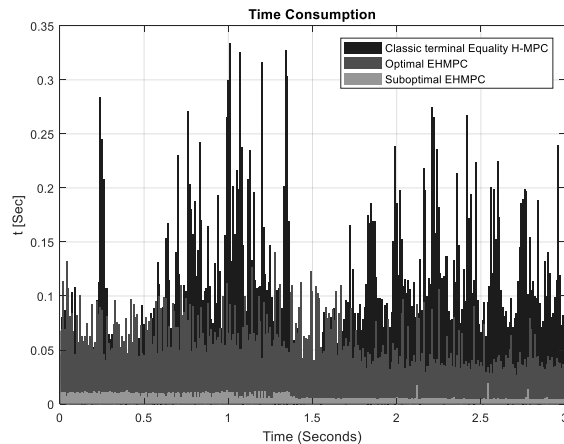
میزان زمان مصرفی به منظور حل مساله MIQP برای سه حالت بهینه، زیربهینه و در حالت قید مساوی نهایی در هر زمان نمونه برداری در شکل (۷) نمایش داده شده است.



شکل ۵: مسیر حالت متغیر x_4



شکل ۶: سیگنال کنترل f

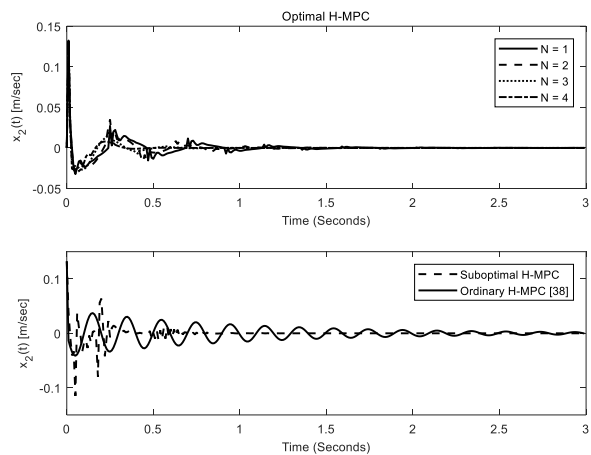


شکل ۷: نمودار زمان مصرفی در حل مساله MIQP

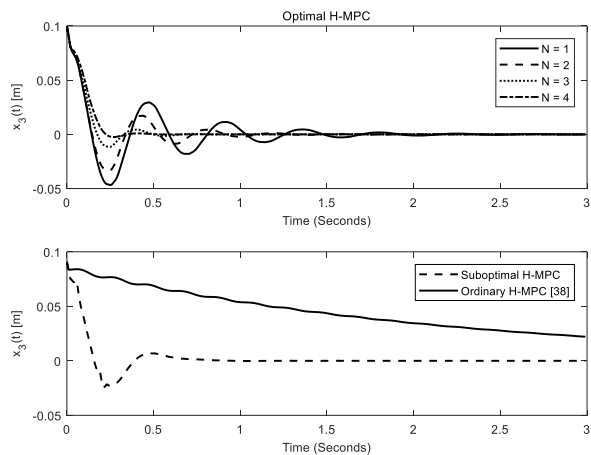
همانگونه که در شکل (۷) نشان داده شده است، کنترل کننده زیربهینه به مراتب زمان کمتری نسبت به سایر کنترل کننده‌ها برای

بسته کنترل کننده زیربهینه ندارد و همین امر می‌تواند به عنوان یکی از محدودیت‌های این روش در نظر گرفته شود. میزان افق پیش بین برای این کنترل کننده برابر با ۵ در نظر گرفته شده است. در صورتی که به منظور برقراری قید مساوی نهایی می‌بایست افق پیش بینی برابر با ۱۳ باشد که در این صورت تعداد قیود صحیح-مرکب سیستم بسیار افزایش یافته و به تبع آن پیچیدگی محاسباتی کنترل کننده افزایش خواهد یافت. علاوه بر موارد فوق، در مقایسه با روش استفاده شده در مرجع [۳۸]، روش پیشنهادی منجر به زمان نشست بسیار کمتری گردیده است. از طرفی، با تنظیم مناسب افق پیش بین مساله، می‌توان از تحمیل حجم محاسبات جهت تضمین پایداری حلقه بسته تا حد مطلوبی جلوگیری نمود.

شکل (۶) نیروی قابل تنظیم اعمالی به سیستم (سیگنال کنترل) را نمایش می‌دهد. همان گونه که مشاهده می‌شود سیگنال کنترل در محدوده مجاز تعریف شده در رابطه (۴۴) قرار دارد. کنترل کننده زیربهینه در مقایسه با دو روش دیگر دارای رفتار نوسانی در حالت گذرای سیستم می‌باشد که دلیل این امر صرف نظر از تابع هزینه مساله می‌باشد. واضح است که نرخ همگرایی هر دو کنترل کننده بهینه و زیربهینه وضعیت بهتری نسبت به کنترل کننده طراحی شده بر اساس روش‌های موجود دارد.



شکل ۳: مسیر حالت متغیر x_2



شکل ۴: مسیر حالت متغیر x_3

- [9] J. Schumacher, S. Weiland, and W. Heemels, "Linear complementarity systems," *SIAM journal on applied mathematics*, vol. 60, no. 4, pp. 1234-1269, 2000.
- [10] W. P. Heemels, B. De Schutter, and A. Bemporad, "Equivalence of hybrid dynamical models," *Automatica*, vol. 37, no. 7, pp. 1085-1091, 2001.
- [۱۱] سید وحید قوشخانه‌ای، علیرضا الفی، «طراحی کنترل پیش بین برای سیستم‌های عملیات از راه دور دوطرفه نامعین»، *مجله مهندسی برق دانشگاه تبریز*، دوره ۴۷، شماره ۲، ۱۳۹۶.
- [۱۲] فرهاد بیات، صالح مبین، «طراحی کنترل پیش بین با هزینه محاسباتی کم: رویکرد برنامه ریزی پارامتری»، *مجله مهندسی برق دانشگاه تبریز*، دوره ۴۶، شماره ۴، ۱۳۹۵.
- [13] J. B. Rawlings and D. Q. Mayne, *Model predictive control: Theory and design*. Nob Hill Pub., 2009.
- [14] D. Q. Mayne, "Model predictive control: Recent developments and future promise," *Automatica*, vol. 50, no. 12, pp. 2967-2986, 2014.
- [15] D. Bertsimas and R. Weismantel, *Optimization over integers*. Dynamic Ideas Belmont, 2005.
- [16] L. A. Wolsey, *Integer programming*. Wiley, 1998.
- [17] C. H. Papadimitriou, *Computational complexity*. John Wiley and Sons Ltd., 2003.
- [18] A. Bemporad, N. Giorgetti, I. Kolmanovsky, and D. Hrovat, "A hybrid system approach to modeling and optimal control of DISC engines," in *Decision and Control, 2002, Proceedings of the 41st IEEE Conference on*, vol. 2, pp. 1582-1587, 2002.
- [19] A. K. Sampathirao, P. Sopasakis, A. Bemporad, and P. Patrinos, "GPU-accelerated stochastic predictive control of drinking water networks," *IEEE Transactions on Control Systems Technology*, pp.551-562, 2017.
- [20] A. G. Beccuti, T. Geyer, and M. Morari, "A hybrid system approach to power systems voltage control," in *Decision and Control, 2005 and 2005 European Control Conference. CDC-ECC'05. 44th IEEE Conference on*, pp. 6774-6779, 2005.
- [21] M. Falahi, K. Butler-Purry, and M. Ehsani, "Dynamic reactive power control of islanded microgrids," *IEEE Transactions on Power Systems*, vol. 28, no. 4, pp. 3649-3657, 2013.
- [22] W. Jing, C. H. Lai, S. H. W. Wong, and M. L. D. Wong, "Battery-supercapacitor hybrid energy storage system in standalone DC microgrids: areview," *IET Renewable Power Generation*, vol. 11, no. 4, pp. 461-469, 2016.
- [23] F. Blanchini, "Set invariance in control," *Automatica*, vol. 35, no. 11, pp. 1747-1767, 1999.
- [24] M. Lazar, W. Heemels, S. Weiland, and A. Bemporad, "Stabilizing model predictive control of hybrid systems," *IEEE Transactions on Automatic Control*, vol. 51, no. 11, pp. 1813-1818, 2006.
- [25] M. Lazar and W. Heemels, "A new dual-mode hybrid MPC algorithm with a robust stability guarantee," *IFAC Proceedings Volumes*, vol. 39, no. 5, pp. 321-328, 2006.
- [26] M. Lazar, "Model predictive control of hybrid systems: Stability and robustness," vol. 68, 2006.
- [27] H. P. Williams, *Model building in mathematical programming*. John Wiley & Sons, 2013.
- [28] A. Polanski, "On infinity norms as Lyapunov functions for linear systems," *IEEE Transactions on Automatic Control*, vol. 40, no. 7, pp. 1270-1274, 1995.
- [29] M. Lazar and A. Jokić, "On infinity norms as Lyapunov functions for piecewise affine systems," in *Proceedings of the*

حل مساله MIQP نیاز دارد. در مقایسه با روش قید مساوی نهایی، هر دو کنترل کننده پیشنهادی دارای پیچیدگی محاسباتی کمتری می باشند. با توجه به افزایش حجم مساله در حالت استفاده از قید مساوی نهایی میزان زمان مصرفی به منظور حل مساله MIQP بسیار افزایش خواهد یافت.

۶- نتیجه گیری

در این مقاله، حل مسئله پایدارسازی توسط کنترل پیش بین برای سیستم‌های هایبرید مرکب منطقی-دینامیکی از ۲ جهت مورد بهبود واقع گردید. در درجه اول با استفاده از کنترل پیش بین هایبرید مبتنی بر تابع لیاپانوف می توان با محدودیت کمتری پایداری حلقه بسته سیستم هایبرید را تضمین نمود. در مقایسه با کنترل پیش بین هایبرید مبتنی بر قید مساوی نهایی، قید نزول تابع لیاپانوف از نظر امکان پیاده سازی و محاسبات کنترلی، سهولت بیشتری فراهم می سازد. دومین مزیت این روش در تبدیل مساله بهینه سازی به یک مساله امکان پذیری می باشد. با توجه به این موضوع که حل مساله امکان پذیری از پیچیدگی محاسباتی کمتری نسبت به مساله بهینه سازی برخوردار است، با استفاده از قید نزول تابع لیاپانوف می توان با صرف نظر کردن از پاسخ بهینه و استفاده از پاسخ زیر بهینه، حجم محاسبات کنترل کننده را به طور چشم گیری کاهش داد. علاوه بر موارد فوق، بر خلاف قید مساوی نهایی که فقط جذبندگی نقطه تعادل را تضمین می نماید، با استفاده از روش پیشنهادی پایداری نمای حلقه بسته تضمین می گردد.

مراجع

- [1] M. S. Branicky, "Introduction to hybrid systems," *Handbook of networked and embedded control systems*, pp. 91-116, 2005.
- [2] C. G. Cassandras and S. Lafortune, *Introduction to discrete event systems*. Springer Science & Business Media, 2009.
- [3] T. A. Henzinger, P. W. Kopke, A. Puri and P. Varaiya, "What's decidable about hybrid automata?," in *Proceedings of the twenty-seventh annual ACM symposium on Theory of computing*, pp. 373-382, 1995.
- [4] T. A. Henzinger, "The theory of hybrid automata," in *Verification of Digital and Hybrid Systems*: Springer, pp. 265-292, 2000.
- [5] J. Lygeros, K. H. Johansson, S. N. Simic, J. Zhang, and S. S. Sastry, "Dynamical properties of hybrid automata," *IEEE Transactions on automatic control*, vol. 48, no. 1, pp. 2-17, 2003.
- [6] F. J. Christophersen, "Piecewise affine systems," *Optimal Control of Constrained Piecewise Affine Systems*, pp. 39-42, 2007.
- [7] A. Bemporad and M. Morari, "Control of systems integrating logic, dynamics, and constraints," *Automatica*, vol. 35, no. 3, pp. 407-427, 1999.
- [8] B. De Schutter and T. Van den Boom, "Model predictive control for max-min-plus-scaling systems," in *American Control Conference, 2001. Proceedings of the 2001*, vol. 1, pp. 319-324: 2001.

- 13th ACM international conference on Hybrid systems: computation and control*, pp. 131-140, 2010.
- [30] M. Lazar, W. Heemels, S. Weiland, A. Bemporad, and O. Pastravanu, "Infinity norms as Lyapunov functions for model predictive control of constrained PWA systems," *Lecture Notes in Computer Science*, vol. 3414, pp. 417-432, 2005.
- [31] F. Blanchini, "Ultimate boundedness control for uncertain discrete-time systems via set-induced Lyapunov functions", in *Decision and Control, 1991., Proceedings of the 30th IEEE Conference on*, pp. 1755-1760, 1991.
- [32] S. Boyd and L. Vandenberghe, *Convex optimization*. Cambridge university press, 2004.
- [33] J. Lee and S. Leyffer, *Mixed integer nonlinear programming*. Springer Science & Business Media, 2011.
- [34] R. Fletcher and S. Leyffer, "Numerical experience with lower bounds for MIQP branch-and-bound," *SIAM Journal on Optimization*, vol. 8, no. 2, pp. 604-616, 1998.
- [35] I. I. CPLEX, "V12. 1: User's Manual for CPLEX," *International Business Machines Corporation*, vol. 46, no. 53, p. 157, 2009.
- [36] G. Optimization, "Inc., "Gurobi optimizer reference manual," 2014," URL: <http://www.gurobi.com>, 2014.
- [37] R. N. Jazar, "Quarter car," *Vehicle Dynamics: Theory and Application*, pp. 931-975, 2008.
- [38] N. Giorgetti, A. Bemporad, H. E. Tseng, and D. Hrovat, "Hybrid model predictive control application towards optimal semi-active suspension," *International Journal of Control*, vol. 79, no. 05, pp. 521-533, 2006.
- [39] F. D. Torrisi and A. Bemporad, "HYSDEL-a tool for generating computational hybrid models for analysis and synthesis problems," *IEEE transactions on control systems technology*, vol. 12, no. 2, pp. 235-249, 2004.

زیر نویس‌ها

- 1 Discrete Event Systems (DES)
- 2 Piece-Wise Affine (PWA)
- 3 Mixed Logical Dynamical (MLD)
- 4 Max-Min-Plus-Scaling
- 5 Model Predictive Control (MPC)
- 6 Receding Horizon Control (RHC)
- 7 Hybrid Model Predictive Control (H-MPC)
- 8 Mixed Integer Program (MIP)
- 9 Terminal Equality Constraint
- 10 Equilibrium Pair
- 11 Feasibility Problem
- 12 Mixed Integer Quadratic Program (MIQP)
- 13 Polynomial Time
- 14 Branch and Bound (BnB)
- 15 Quarter Car
- 16 Tier Deflection
- 17 Unsprung Mass Velocity
- 18 Suspension Deflection
- 19 Sprung Mass Velocity
- 20 Ordinary H-MPC